

The energetic characterization of solar-control environments

Andrea Frattolillo*, Gianraffaele Loddo, Chiara Salaris,
Roberto Innamorati

Highlights

The energy consumption associated with maintaining thermal comfort in buildings remains a significant and partially unjustified share, accounting for 30-40% of total energy consumption. The windowed components, often with thermal insulation performances even higher than the minimum requirements, still lack design and characterization in terms of the incident solar radiation control, a particularly delicate topic for achieving indoor wellness conditions and more generally for a higher energy efficiency in buildings.

Abstract

Despite the increasingly pressing regulations in the energy sector (EPBD recast, law 90/2013 and the consequent decree 162 of 2015), which push towards policies and financial measures to promote buildings with almost zero energy, the quality of the internal environment remains one of the critical parameters on which to pay more attention in view of a consistent evaluation of the Nzeb building. The authors show, in the present paper, the results related to the energetic characterization of two test rooms, identical for surface and opaque envelope, but with different typologies of windows on the South-East and South-West wall.

Keywords

Electrochromic glazing, Internal comfort, Dynamic simulation

1. INTRODUCTION

Energy consumption by both residential and commercial buildings in developed countries account for 20–40% of total energy used [1]. Approximately 60% of all used energy in building sector is consumed for space heating and cooling (residential), lighting and ventilation (mainly commercial buildings). Windows are often one of the most energy inefficient components of buildings, for about 20–40% energy loss [2]. The most significant parameters influencing the heat transfer through windows include outdoor conditions, shading, building orientation, type and area of window, glass properties and glazing characteristics [3]. Though thermal insulation of windows is already well addressed in products widely available on the market [4], the control of

Andrea Frattolillo

DICAAR - Dipartimento di
Ingegneria Civile, Ambientale
ed Architettura, Università
di Cagliari, via Marengo 2,
Cagliari, 09126, Italia

Gianraffaele Loddo

DICAAR - Dipartimento di
Ingegneria Civile, Ambientale
ed Architettura, Università
di Cagliari, via Marengo 2,
Cagliari, 09126, Italia

Chiara Salaris

DICAAR - Dipartimento di
Ingegneria Civile, Ambientale
ed Architettura, Università
di Cagliari, via Marengo 2,
Cagliari, 09126, Italia

Roberto Innamorati

DICAAR - Dipartimento di
Ingegneria Civile, Ambientale
ed Architettura, Università
di Cagliari, via Marengo 2,
Cagliari, 09126, Italia

* Corresponding author
Tel.: +39-070-6755265;
fax: +39-070-6755263;
e-mail:
andrea.frattolillo@unica.it

incident solar radiation, in order to optimize incoming thermal and lighting flows, is still particularly delicate and a key element for the achievement of internal comfort and more generally of greater energy efficiency in buildings. An ideal window should be able to transmit enough visible light, and to control transmitted Infrared radiation (IR) in the meantime [5]. Five main approaches can be hypothesized for this purpose: 1) to realize highly insulating windows (U -value $< 0,35 \text{ W/m}^2\text{K}$); 2) to reduce Solar Heat Gain (SHG) but admit daylight; 3) to use dynamic glazing (with variable transmittance); 4) to realize daylight/sunlight redirecting systems; 5) to integrate and to optimize lighting and HVAC via smart, integrated façades, with the use of low- U , low- E plus switchable SHG glazing [6]. The last one is by far the most ambitious approach, aspiring to obtain a new generation of advanced transparent closures, able to fully adapt to the environmental conditions in a dynamic way, ensuring, in full synergy with the systems and equipment, an efficient continuous and automatic management of all matter and energy flows in accordance to climate, user behaviour, and market conditions of energy. The authors in this paper present the results related to the energy characterization of two test rooms, identical in surface and type of envelope, but with different glazed elements on the SOUTH-EAST and SOUTH-WEST wall: one with traditional frames with high thermal performance, the other with low emissivity electrochromic glass appropriately controlled remotely. Both test chambers have been instrumented to measure the main thermohygrometric and climatic parameters necessary in order to verify the real comfort conditions and to estimate the energy requirements associated with the use of electrochromic glazing.

2. STATE OF THE ART

Neglecting the mechanical shading systems (manual or automated), widely dealt with in the scientific literature [7,8], the possibilities to associate energy saving, lighting control and users comfort are inevitably entrusted to dynamic systems (switchable) integrated into the glass (SPD, LCD, thermochromic, EC, etc.), able to save up to 60% of the needs of artificial lighting, to reduce the cooling load up to 20% [9,10], with a good users' acceptance of this technology mainly because of the reduction of glare, reflections and discomfort near the windows [11]. The switchable devices are categorized into passive and active systems. In passive devices, the switching process is activated automatically in accordance with the environmental conditions (e.g. light in case of photochromic windows, or temperature and heat in thermochromic windows). Alternatively, the active systems require an external triggering mechanism

1. INTRODUZIONE

I consumi energetici associati agli edifici residenziali e commerciali nei Paesi sviluppati pesano per un valore ormai prossimo al 40% del totale [1]. Circa il 60% dell'energia complessivamente utilizzata negli edifici è consumata per la climatizzazione (nei residenziali), illuminazione e ventilazione (negli edifici commerciali).

In questo contesto, gli elementi finestrati sono riconosciuti tra i componenti più inefficienti da un punto di vista energetico, essendo ad essi associate dispersioni variabili tra il 20 ed il 40% dell'involucro [2], in funzione delle condizioni climatiche esterne, della presenza di effetti schermanti, dell'orientamento dell'edificio, dell'area della superficie vetrata ed ovviamente delle caratteristiche costruttive degli stessi elementi [3].

L'installazione di componenti finestrati altamente prestanti dal punto di vista dell'isolamento termico può essere considerata, ormai, una realtà nel mercato attuale [4], tuttavia, il controllo della radiazione incidente, allo scopo di ottimizzare i flussi termici e luminosi entranti, resta un aspetto ancora delicato.

Una finestra ideale dal punto di vista del comfort interno e, più in generale dell'efficienza energetica [5], dovrebbe consentire una adeguata trasmissione della luce visibile, riuscendo contemporaneamente a controllare la quota parte di radiazione infrarossa entrante. Cinque approcci sono teoricamente possibili: 1) realizzare finestre altamente isolanti (valore $U < 0,35 \text{ W/m}^2\text{K}$); 2) ridurre il guadagno di calore solare, ma consentire la luce diurna; 3) utilizzare vetrate dinamiche (con trasmittanza variabile); 4) realizzare sistemi di reindirizzamento luce diurna/solare; 5) integrare e ottimizzare l'illuminazione ed i sistemi HVAC tramite facciate intelligenti e integrate, con l'uso di vetrate SHG commutabili a bassa trasmittanza U ed a basso consumo [6]. L'ultimo è di gran lunga il più ambizioso, aspirando ad ottenere una nuova generazione di chiusure trasparenti avanzate, in grado di adattarsi completamente alle condizioni ambientali in modo dinamico, garantendo, in piena sinergia con i sistemi e le attrezzature, una efficiente ed automatica gestione di tutti i flussi di materia ed energia in base al clima, al comportamento dell'utente e alle condizioni di mercato dell'energia.

Gli autori nel presente lavoro presentano i risultati relativi alla caratterizzazione energetica di due test rooms identiche per superficie e tipologia di involucro, ma dotate sulla parete SUD-EST e SUD-OVEST una di infissi tradizionali ad alta prestazione termica, l'altra di vetri elettrocromici basso emissivi opportunamente controllati da remoto. Entrambe le camere di prova sono state strumentate per la misura dei principali parametri termohygrometrici e climatici necessari per la valutazione del comfort interno nelle condizioni di prova, ma anche per la simulazione di diverse condizioni operative in regime dinamico. Lo scopo è verificare le condizioni di comfort raggiunte, stimando i fabbisogni energetici

to perform the modulation (e.g. electricity in electrochromic windows). The active switchable glazing systems offer supplementary options compared to the passive systems whereas their dependency on power supply and wiring should be reckoned with as a drawback [2]. The most common active-controlled intelligent windows use suspended particle windows, liquid crystals and chromic materials. A Suspended Particle Device (SPD) consists of a polymer layer, containing a large number of light absorbing and polarizable particles (less than 200 nm in size), between two sheets of glass or plastic coated with transparent and electrically conducting thin films facing the polymer layer. Applying a sufficient electric voltage to the polymer layer, via the transparent conducting films, makes the particles align and become parallel to the electric field thereby yielding a higher transmittance. In the “off” state, when no voltage is applied, the particles are randomly dispersed and therefore absorb light and create a dark appearance; conversely, in the “on” state the particles align and the character of the glass changes from dark to clear. Nowadays energy efficiency and lifetime not yet proven. Liquid Crystal Windows are switchable glass panes with a liquid crystal layer changing light transmission properties in order to control light and heat intake. The use of switchable dyes, hosted in liquid crystals, allow more or less radiation to permeate, depending on their alignment, making the window appear darker or brighter. Nowadays mainly used for privacy control, but not yet recognized as an energy savings device or proven to have wide-angle, low glare properties. Chromic materials are classified into four types: gasochromic, photochromic, thermochromic (TC) and electrochromic (EC). In gasochromic devices a hydrogen gas (H₂) is applied to switch a thin layer of tungsten oxide (WO₃), covered by a very thin layer of platinum between colored and bleached states. This process can be reversed by introducing diluted oxygen. The hydrogen and oxygen are produced by an electrolyser. These are generally cheaper and simpler devices than the other chromic ones, not requiring the ion conductor and storage layers. Although, gasochromic devices exhibit some merits such as better transmittance modulation, lower required voltage, staying lucid in the swap period, and adjustability of any middle state between transparent and entirely opaque; only a few numbers of EC materials can be darkened by hydrogen. Furthermore, strict control of the gas exchange process is another issue. The best transmittance values obtained for a coated double-glazed unit, with a moderate film thickness, and hydrogen concentrations below the combustion limit are 76% and 77% for solar and visual transmittance, respectively, in the bleached state and 5% and 6% for solar and visual transmittance, respectively, in the coloured state. Darker states can be obtained by applying thicker films

associati all'utilizzo di vetrate elettrocromiche su edifici in clima mediterraneo.

2. STATO DELL'ARTE

Trascurando i sistemi di schermatura meccanica (manuale o automatizzata), ampiamente trattati nella letteratura scientifica [7,8], le possibilità di associare risparmio energetico, controllo dell'illuminazione e comfort degli utenti sono inevitabilmente affidate a sistemi dinamici (commutabili) integrati nel vetro (SPD, LCD, termocromico, EC, etc.), in grado di risparmiare fino al 60% delle esigenze di illuminazione artificiale, per ridurre il carico di raffreddamento fino al 20% [9,10], con una buona accettazione da parte degli utenti di questa tecnologia, principalmente a causa della riduzione di abbagliamento, riflessi e disagio vicino alle finestre [11]. I dispositivi commutabili sono classificati in sistemi passivi e attivi. Nei dispositivi passivi, il processo di commutazione viene attivato automaticamente, in base alle condizioni ambientali (ad esempio la luminosità per le finestre fotocromatiche o la temperatura ed il calore per le finestre termocromiche). In alternativa, i sistemi attivi richiedono un meccanismo di attivazione esterno per eseguire la modulazione (ad esempio elettricità nelle finestre elettrocromiche). I sistemi di vetratura commutabili attivi offrono opzioni supplementari rispetto ai sistemi passivi, mentre la loro dipendenza dall'alimentazione e dal cablaggio deve essere considerata un inconveniente [2]. Le finestre intelligenti a controllo attivo più comuni utilizzano vetrate a particelle sospese, cristalli liquidi e materiali cromatici. Un dispositivo a particelle sospese (SPD) è costituito da uno strato di polimero, contenente un gran numero di particelle che assorbono la luce e polarizzabili (di dimensioni inferiori a 200 nm), tra due fogli di vetro o di plastica, rivestiti con pellicole sottili trasparenti e elettricamente conduttive rivolte verso lo strato polimerico. Applicando una sufficiente tensione allo strato polimerico, attraverso i film conduttori trasparenti, le particelle si allineano e diventano parallele al campo elettrico, ottenendo così una trasmittanza più elevata. Nello stato “spento”, quando non viene applicata alcuna tensione, le particelle vengono disperse casualmente e quindi assorbono la luce e creano un effetto scuro; al contrario, nello stato “on”, le particelle si allineano e il carattere del vetro cambia da scuro a chiaro. Ad oggi la loro efficienza energetica e durata non risultano ancora sufficientemente testate. Le finestre LCD sono vetri con uno strato di cristalli liquidi che cambia le proprietà di trasmissione della luce riuscendo a controllare l'assorbimento di luce e calore. L'uso di opportuni coloranti, ospitati nei cristalli liquidi, consente ad una maggiore o minore quantità di radiazioni, a seconda dell'allineamento, di permeare attraverso lo strato rendendo la finestra più scura o più luminosa. Oggi sono utilizzate principalmente per il controllo della privacy, ma non sono ancora riconosciute come dispositivi di risparmio energetico. I materiali

of tungsten oxide without reducing the transmittance in the bleached state [12].

Photochromic materials change their transparency in response to light intensity. They found success in eyeglass that change from clear in the dim indoor light to dark in the bright outdoors. Since photochromic materials are responsive to light intensity, but remain unchanged with temperature changes, windows made from these materials darken when exposed to light irrespective of the temperature level outside. The promising approach is the development of hybrid systems that integrate some type of active smart windows technology with photochromic materials to address the problem of automatic darkening during cold, sunny days [13]. Thermochromic (TC) materials change color in response to temperature variations. The TC interlayer thin film (within 0,3-1 mm) is extruded through the draw plate onto unadhereable underlying material or directly on the glass. As the temperature becomes higher than the transition point, the TC material changes its nature from monoclinic (behave as semiconductors, less reflective especially in near-IR radiation) to rutile state, behaving like a semi-metal and reflecting a wide range of solar radiation. Most of heat gain in solar spectrum takes place at NIR range (800–1200 nm), therefore the more direct and intense the sunlight is on the glass the darker it will become. When the polymeric interlayer is doped with complexes of transition metals (Fe, Cu, Cr, Co etc.), a reversible change of light transmission (LT) and/ or colour occurs. Since the emissivity of the coatings are high in both monoclinic and rutile states, this technology does not work well in cooler climates currently [2]. The central part of an electrochromic device is a five layers coating applied to the glass pane: an electron accumulation layer, an ion conductor layer (usually LiAlF_4), an electrode layer (usually tungsten trioxide WO_3), and two outer layers made of transparent conductive oxides. When voltage is applied, Li^+ ions pass from the accumulation layer to the electrode determining a change in color from transparent (SHG and LT about 0,49 and 69%) to dark (SHG and LT about 0,09 and 1%) in the electrode layer (cathodic coloration), or in the accumulation layer (anodic coloration) or in both according to the electrochromic materials employed. The process is reversible by turning off the electrical stimulus that triggers the return of ions from the electrode to the accumulation layer. Energy required to switch between the different control states is not greater than 3 Wp/m^2 and even less ($<0,4 \text{ W/m}^2$) is the one needed to maintain a desired tinted state (energy is required only for transition) [5]. About, EC windows require less energy for lighting than TC ones and both demand the lowest cooling energy, if compared to clear, tinted or reflective glass [13]. However, the necessity of

chromici sono classificati in quattro tipi: gasocromico, fotocromico, termocromico (TC) ed elettrocromico (EC). Nei dispositivi gasocromici si utilizza idrogeno (H_2) per switchare un sottile strato di ossido di tungsteno (WO_3), coperto da uno strato molto sottile di platino tra stati colorato e bianco. Questo processo può essere invertito introducendo ossigeno diluito. L'idrogeno e l'ossigeno sono prodotti da un elettrolizzatore. Questi sono generalmente dispositivi più economici e semplici rispetto agli altri cromici, che non richiedono il conduttore di ioni e gli strati di stoccaggio. Sebbene i dispositivi gasocromici presentino alcuni vantaggi (una migliore modulazione di transmittanza, una minore tensione e una adattabilità a qualsiasi stato intermedio tra trasparente e completamente opaco), solo un ristretto numero di materiali EC possono essere oscurati dall'idrogeno. Inoltre, lo stretto controllo del processo di scambio di gas resta un problema. I migliori valori di transmittanza ottenuti per un'unità a doppio vetro rivestito con uno spessore moderato di film e le concentrazioni di idrogeno inferiori al limite di combustione sono 76% e 77% per la transmittanza solare e visiva, rispettivamente, nello stato sbiancato e 5% e 6% per la transmittanza solare e visiva, rispettivamente, nello stato colorato. Gli stati più scuri possono essere ottenuti applicando pellicole più spesse di ossido di tungsteno senza ridurre la transmittanza nello stato non colorato [12].

I materiali fotocromatici cambiano la loro trasparenza in risposta all'intensità della luce. Hanno trovato successo nella realizzazione di occhiali con lenti oscuranti, che passano da chiari (in presenza di fioca luce interna) a scuri negli spazi aperti. Poiché i materiali fotocromatici sono sensibili all'intensità della luce, ma non subiscono mutazioni con i cambiamenti di temperatura, le finestre prodotte da questi materiali si scuriscono se esposte alla luce indipendentemente dal livello di temperatura all'esterno. L'approccio promettente è, dunque, lo sviluppo di sistemi ibridi che integrano una tecnologia smart windows attiva con materiali fotocromatici, per affrontare il problema dell'oscuramento automatico durante le giornate fredde e soleggiate [13]. I materiali termocromici (TC) cambiano colore in risposta alle variazioni di temperatura. Il film sottile intercalare TC (entro 0,3-1 mm) viene estruso attraverso la piastra di trazione su materiale sottostante non trasportabile o direttamente sul vetro. Quando la temperatura diventa più alta del punto di transizione, il materiale TC cambia la sua natura da monoclinica (si comportano come semiconduttori, meno riflettente specialmente nella radiazione vicina IR) allo stato rutile, comportandosi come un semi-metallo e riflettendo una vasta gamma di radiazioni solari. La maggior parte del guadagno di calore nello spettro solare avviene nella gamma NIR (800-1200 nm), quindi più diretta e intensa è la luce solare sul vetro, più questo diventerà scuro. Quando l'interstrato polimerico viene drogato con metalli di transizione (Fe, Cu, Cr, Co ecc.), si verifica un cambiamento reversibile della trasmissione luminosa (LT)

wiring in EC glazing and the better ability of TC windows to maintain the visible transmission (when doped properly), besides their simple structure, make TC windows economically more competitive.

In [11, 14] energy use variations caused by the use of EC glass were calculated as differences of energy requirements for heating, cooling and annual energy needs against the reference case situation of using single glass. Considering EC lower solar factor in the clear state (0,48) and in the colored state (0,09), when compared to conventional double glazing (0,75), the higher the cooling loads, the greater are the savings caused by their use. The orientation of glass is also very important in energy evaluation, highlighting advantages in the use of EC windows in East and West facades (keeping glass always in the clear state in the heating season) but using conventional double glazing for the South facade. Further developments [13] on predictive control algorithms, to continuously meet a design illuminance level, should improve furthermore the building energy efficiency, offering reduction of about 40% electricity consumption and 38% for peak demand. The control strategy to manage when they should be in the colored or in the clear state can be based on several parameters: the unpredictable occupant's preference (minimizing energy consumption, reducing reflections and/or glare, other), solar irradiation, external temperature, indoor temperature, indoor light level, occupation profile, time of the day and season [15, 16]. As the switching time is several minutes, a high time constant should be used to control the EC glass, in order to avoid frequent changes.

3. METHODOLOGY

The two test environments, identical in size and type of envelope, are located on the terrace of the DiCAAR Department (figure 1a) at 20 meters from each other, with gross dimensions 4,15x4,14x3,19 m. They are two wooden buildings realized with a balloon frame system, pillars and joists with reduced section, arranged at close intervals and with continuous uprights from the floor to the roof. The SE wall includes the entrance door with glazed area equal to 0,67x1,15 m; the SO wall (figura 1c) includes six windows, two with dimensions 1,42x0,94 m located in the centre, and four, of 0,60x0,95 m, on the sides. The only difference between the two buildings is precisely in these glazed elements: traditional high thermal performance window frames (7 mm external plate, 12 mm argon, 4 mm internal plate with low emission treatment) in the building further south (from here on we will call it "LE" building) and the electrochromic glass, above described, in the building further north (from here on we will call it "EC" building).

e/o del colore. Dato che l'emissività dei rivestimenti è elevata sia negli stati monocloro che rutilo, questa tecnologia non funziona bene nei climi più freddi [2]. La parte centrale di un dispositivo elettrocromico è un rivestimento a cinque strati applicato al vetro: uno strato che funge da accumulatore di elettroni, uno strato conduttore ionico (solitamente LiAlF₄), uno strato che funge da elettrodo (solitamente triossido di tungsteno WO₃) e due strati esterni fatti di ossidi conduttivi. Quando viene applicata la tensione, gli ioni Li⁺ passano dallo strato di accumulazione all'elettrodo determinando un cambiamento di colore da trasparente (SHG e LT circa 0,49 e 69%) a scuro (SHG e LT circa 0,09 e 1%) nello stesso elettrodo (colorazione catodica), o nello strato di accumulazione (colorazione anodica) o in entrambi. Il processo è reversibile disattivando lo stimolo elettrico che attiva il ritorno di ioni dall'elettrodo allo strato di accumulazione. L'energia richiesta per passare tra i diversi stati di controllo non supera i 3 Wp/m², mentre quella necessaria per mantenere uno stato coloured desiderato è generalmente inferiore a 0,4 W/m², essendo l'energia richiesta solo per la transizione [5]. A riguardo si osserva che le finestre EC richiedono meno energia per l'illuminazione rispetto a quelle TC, mentre entrambe richiedono una minore energia di raffreddamento, se confrontate con un vetro trasparente, colorato o riflettente [13]. Per contro, la necessità di cablaggio nella vetratura EC e la migliore capacità delle finestre TC di mantenere la trasmissione visibile (se opportunamente drogata), oltre alla loro struttura semplice, rendono le finestre TC economicamente più competitive. In [11, 14] le variazioni di consumo energetico causate dall'uso di vetrate EC sono state calcolate come differenze tra il fabbisogno energetico per la climatizzazione annuale ed il corrispondente fabbisogno nel caso di utilizzo del singolo vetro. Considerando il fattore solare inferiore delle vetrate EC nello stato chiaro (0,48) e nello stato colorato (0,09), rispetto ai doppi vetri convenzionali (0,75), maggiori sono i carichi di raffreddamento, maggiori sono i risparmi causati dal loro utilizzo. Anche l'orientamento delle vetrate è molto importante nella valutazione energetica, con un evidente vantaggio nell'uso delle finestre EC nelle facciate Est e Ovest (mantenendo il vetro sempre allo stato chiaro nella stagione di riscaldamento) ma utilizzando i doppi vetri convenzionali per la facciata Sud. Ulteriori sviluppi [13] sugli algoritmi di controllo predittivo, per soddisfare continuamente il livello di illuminamento da progetto, dovrebbero garantire una maggiore efficienza energetica dell'edificio, offrendo una riduzione media del 40% del consumo di elettricità e del 38% per la domanda di picco. La strategia di controllo sulle tempistiche di mantenimento dello stato colorato o dello stato chiaro, può essere basata su diversi parametri: preferenza dell'operatore (riduzione del consumo di energia, riduzione dei riflessi e/o dell'abbagliamento, altro), irraggiamento solare, temperatura esterna, temperatura interna, livello di illuminazione interna, profilo

The electrochromic glazing, used in this research, consist of two glass plates separated by a 12 mm full space of argon. The outer plate is composed of a 4 mm tempered panel, a 0,9 mm ionoplastic interlayer and a 2,1 mm annealed glass sheet on which inner surface the electrochromic layers are deposited. The internal plate consists of a simple 6 mm tempered panel. The manufacturer provides the following performance characteristics, respectively for the “clear” and “fully tinted” states: solar factor $g = 48\%$ and 10% ; light transmittance factor $TL = 62\%$ and 2% ; thermal transmittance of the whole frame $U = 0,28 \text{ W/m}^2\text{K}$. This is not a last-generation type, which today have solar factors below 30% with a selective ratio TL/g greater than 2 (high-performance selective glass).

The stratigraphy of the vertical opaque walls and their transmittance, calculated in accordance with UNI EN ISO 6946 [17], is reported in figure 2. The two test environments were instrumented (figure 3) for the detection of the main parameters for assessing indoor comfort, with sensors having metrological characteristics in accordance with ISO 7726 [18].

Furthermore, in order to measure surface temperatures of window elements, K-type thermocouples, suitably shielded by solar radiation, have been placed on the internal and external surfaces of the two larger windows on the SO side and of the window on the SE side. The uncertainty of measuring the surface temperature is better than $\pm 1^\circ\text{C}$.

It should be noted that the two rooms are not equipped either with air conditioning systems, or controlled ventilation systems, therefore the measurements were finalized to compare the indoor conditions in the two

di occupazione, ora del giorno e stagione [15,16]. In tal caso però si tenga conto che, poiché il tempo di commutazione è di alcuni minuti, è necessario utilizzare una costante di tempo elevata per controllare il vetro EC, al fine di evitare frequenti cambiamenti.

3. METODOLOGIA

I due ambienti di prova sono costituiti da due costruzioni in legno, posizionate sul terrazzo del Dipartimento DiCAAR dell'Università di Cagliari (figura 1 a), realizzate con sistema ad ossatura lignea controventata (balloon frame), con pilastri e travetti standardizzati, di sezione ridotta, disposti a intervalli ravvicinati e montanti continui dal basamento alla copertura.

Le costruzioni, identiche per dimensioni e tipologia di involucro opaco, sono poste ad una distanza di 20 metri una dall'altra, con dimensioni $4,15 \times 4,14 \times 3,19 \text{ m}$, con pareti opache poste sui lati NE e NO, e superfici vetrate sulle restanti pareti. La parete SE ospita il serramento di ingresso con area vetrata $0,67 \times 1,15 \text{ m}$; quella SO (figura 1 c) ospita sei vetrate di cui due da $1,42 \times 0,94 \text{ m}$ e quattro da $0,60 \times 0,95 \text{ m}$. L'unica differenza tra i due ambienti di prova è proprio nei sistemi vetriati adottati: infissi tradizionali ad alta prestazione termica (7mm lastra esterna, 12 mm argon, 4 mm lastra interna) nell'edificio più a Sud (che chiameremo LE) e vetri elettrocromici basso emissivi, opportunamente controllati da remoto nell'edificio più a Nord (che chiameremo EC).

I vetri elettrocromici sono costituiti da due lastre di vetro separate da un'intercapedine da 12 mm piena di argon. La lastra di vetro esterna è composta, a sua volta, da un pannello temprato da 4 mm, un film intercalare ionoplastico da 0,9 mm, una lastra di vetro ricotto da 2,1 mm sulla cui faccia interna vengono depositati i layer elettrocromici. La lastra

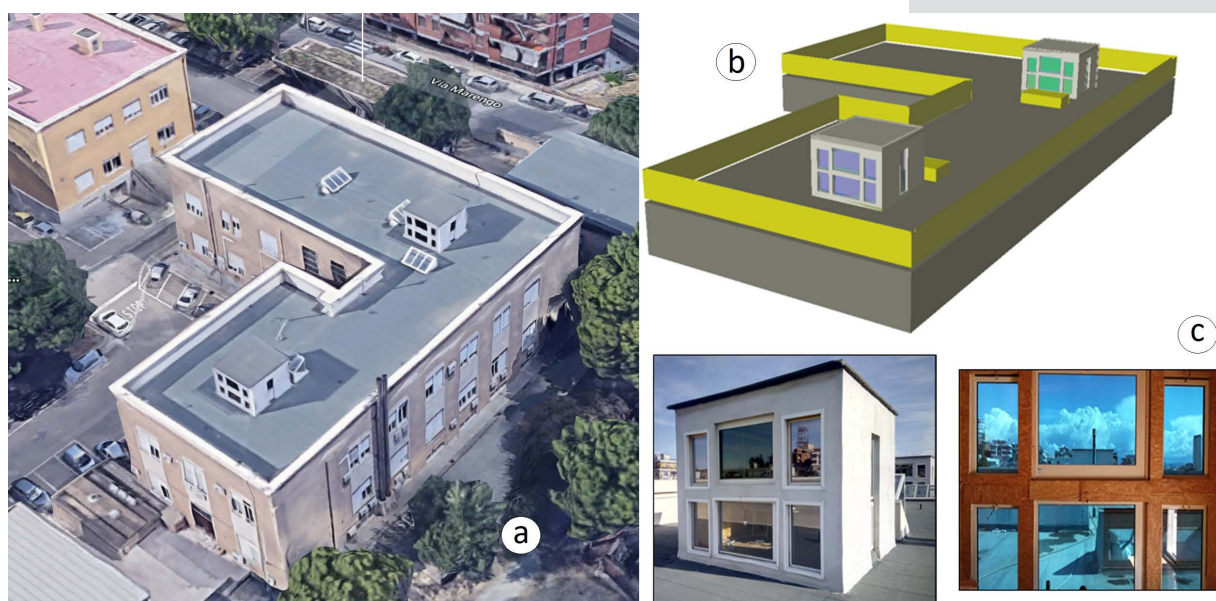
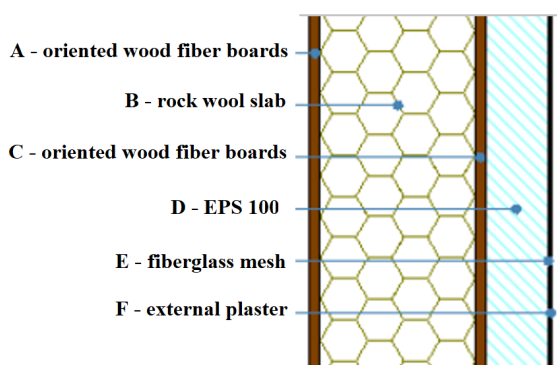


Figure 1. a) satellite view by Google®; b) 3D reconstruction of the dynamic model; c) details of glazed surfaces EC.

rooms, for different outdoor climatic conditions. The sampling period was equal to 15 min. The electro chroming glass are equipped with a remote-control system able to manage four different chromatic spectrums, ranging from light green on 4 variants (fully clear) to dark blue (fully tinted), according to the solar path. In order to verify the shielding effectiveness on the internal solar radiative load, the authors set a hourly programme to switch on (fully coloured) and off (fully clear) the SW windows and the SE ones, as shown in table 1.

interna è costituita da un semplice pannello temprato da 6 mm. La casa costruttrice fornisce per tali vetri i seguenti parametri prestazionali, rispettivamente per gli stati OFF ed ON: fattore solare $g = 48 \div 10 \%$; fattore di trasmittanza luminosa $TL 62 \div 2 \%$; trasmittanza termica dell'intero serramento $U = 0,28 \text{ W/m}^2\text{K}$. Trattasi di una tipologia non di ultimissima generazione, che oggi vantano fattori solari ormai inferiori al 30% con rapporto selettivo TL/g superiore a 2 (vetri selettivi ad alte prestazioni). La stratigrafia delle pareti opache verticali e la relativa trasmittanza calcolata in accordo alla UNI EN



INTERNAL		INTERNAL			
Layers	Thickness [mm]	R [m ² ·K/W]	λ [W/m·K]	ρ [kg/m ³]	^
Internal admittance (horizontal flux)		0,130	7,690		
A	Oriented wood fiber boards (OSB)	10,0	0,077	0,130	650,000
B	Rock wool slab	150,0	4,167	0,036	130,000
C	Oriented wood fiber boards (OSB)	10,0	0,077	0,130	650,000
D	Isoever EPS 100	60,0	1,667	0,036	33,000
E	Fiberglass mesh	2,0	0,080	0,025	100,000
F	External plaster	3,0	0,003	0,900	1.800,000
External admittance (horizontal flux)		0,040	25,000		∇
EXTERNAL		EXTERNAL			
Thermal transmittance: 0,160 W/m ² K		Internal heat capacity C1: 16,900 kJ/m ² K			
Thermal resistance: 6,241 m ² /W		External heat capacity C2: 11,282 kJ/m ² K			
Thickness: 235,0 mm		Periodic thermal transmittance YIE: 0,06 W/m ² K			

Figure 2. Stratigraphy of the vertical opaque walls.



Figure 3. Measuring instruments for the evaluation of internal thermal comfort.

	1	2	3	4	5	6	7	8	9	10	11	12
SE	Off	Off	7:30-13:30	7:30-13:00	7:00-12:30	7:00-12:30	7:00-12:30	7:00-13:00	8:00-13:30	8:00-13:30	8:00-13:30	Off
SO	Off	Off	10:30-18:00	11:00-18:30	11:00-19:00	11:00-19:30	11:00-19:30	11:00-19:00	10:30-18:00	10:30-17:00	10:30-16:30	Off

Table 1. Scheduled switch-on times, in different months of the year, for EC windows on SE side and SW side.

In order to have a more effective characterization of the two test environments, in different climatic conditions and with the variation of the main typological and performance parameters of the glasses, the same environments have been suitably modeled (figure 1.b) with Termolog IX®, able to perform dynamic energy simulation according to the new UNI EN ISO 52016 [19]. The standard specifies a calculation method for the assessment of the sensible heating and cooling load, in a thermal zone, based on hourly calculations, taking properly into account the hourly variations of the climate, the presence of the people in the simulated environments and their actions on the shading or conditioning regulation systems.

4. RESULTS

It is evident in figure 4 that the greater internal load, from solar gain, occurs in both buildings in the afternoon, due to the glazed surface on the SW wall, causing operative temperature peak higher than 16 °C (for the LE environment) and 8 °C (for the EC environment), if compared to the contemporary outdoor air temperature.

A similar analysis can be made for the surface temperatures measured on the different glazed windows. When the EC windows are switched ON, the incident solar radiation, absorbed in the first external layers (7 mm) and

ISO 6946 [17], è invece riportata in figura 2.

I due ambienti di prova sono stati strumentati (figura 3) per il rilevamento dei principali parametri di valutazione del comfort indoor, con sensori aventi caratteristiche metrologiche in accordo alla ISO 7726 [18].

Sulla superficie interna ed esterna delle vetrate più grandi poste sul lato SO e sulle superfici della vetrata posta sul lato SE, sono state posizionate delle termocoppie tipo K, opportunamente schermate dalla radiazione solare e deputate alla misura della temperatura superficiale delle stesse vetrate.

L'incertezza di misura della temperatura superficiale è migliore di $\pm 1^\circ \text{C}$. Si precisa che i due ambienti non sono dotati di impianto di condizionamento, né muniti di sistemi di ventilazione controllata, per cui le misure sono state finalizzate al solo confronto delle condizioni indoor raggiunte nei due ambienti, per diverse condizioni climatiche esterne. Tutte le acquisizioni sono state effettuate ad intervalli di 15 min. I vetri sono dotati di sistema di controllo remoto, fornito dalla casa produttrice, con possibilità di programmazione in funzione del percorso solare ed una gestione dello spettro cromatico variabile dal verde chiarissimo al blu scuro su 4 varianti (tra il fully clear ed il fully tinted).

Al fine di verificarne l'efficacia schermante sul carico radiativo solare, la logica di programmazione scelta prevede una accensione shiftata temporalmente di circa 3 ore per le vetrate poste a SO, e di uno spegnimento anticipato per quelle a SE, secondo quanto riportato in

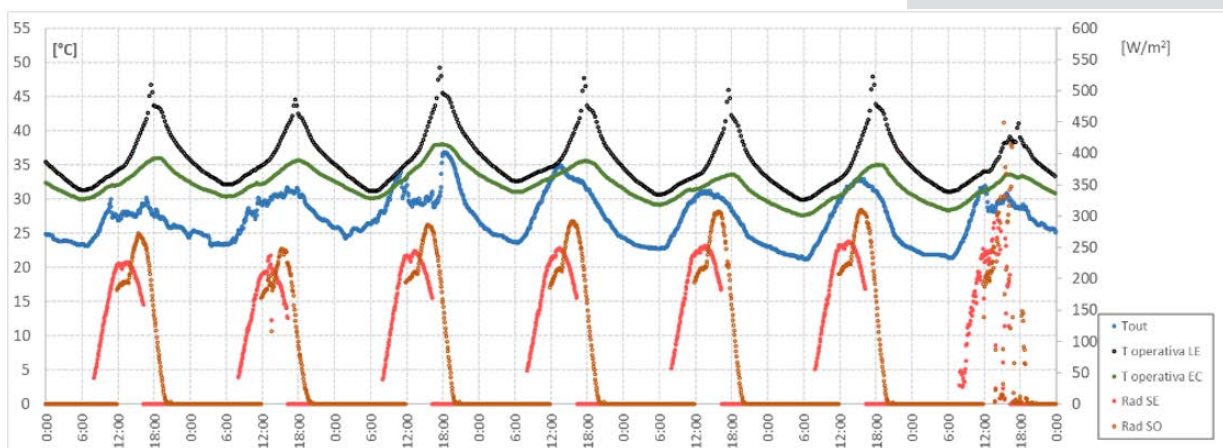


Figure 4: Operative temperature in EC and LE test environments, referred to the external air temperature and to the solar radiation on the glazed walls.

rejected by the “active layer”, is partially reabsorbed, causing an increase in the external surface temperature up to about 52 °C, compared to external surface ones of about 45 °C for the LE windows. These data are confirmed by the results plotted in figure 5. They refer to the test in which the surface temperatures have been measured on two different EC windows, placed on the same wall (SW) but set, respectively, one in ON mode (as required by the scheduled daily program), the other always in OFF mode. As evident from figure 5, when the direct solar radiation on the windows reaches the peak conditions, their external surface temperatures reach differences up to about 12 °C. On the other hand, this effect is less evident on the respective internal surface temperatures, where it is possible to notice the greater thermal inertia of the internal sheet of the window in OFF mode, contributing to the radiative

tabella 1.
 Al fine di avere una più efficace caratterizzazione dei due ambienti di prova, in differenti condizioni climatiche ed al variare dei principali parametri tipologici e prestazionali dei vetri, gli stessi ambienti sono stati opportunamente modellati (figura 1.b) mediante sw Termolog IX®, in grado di eseguire la simulazione energetica dinamica secondo la nuova norma UNI EN ISO 52016 [19].
 In particolare, il metodo di calcolo orario proposto dalla norma fornisce un metodo generale per il calcolo del bilancio termico di un edificio o zona termica in regime dinamico, consentendo di tenere in considerazione in modo adeguato le variazioni orarie del clima e le azioni dell'utente sui sistemi di ombreggiamento, sull'impostazione oraria dei termostati oltre che ovviamente sulla presenza stessa delle persone negli ambienti simulati.

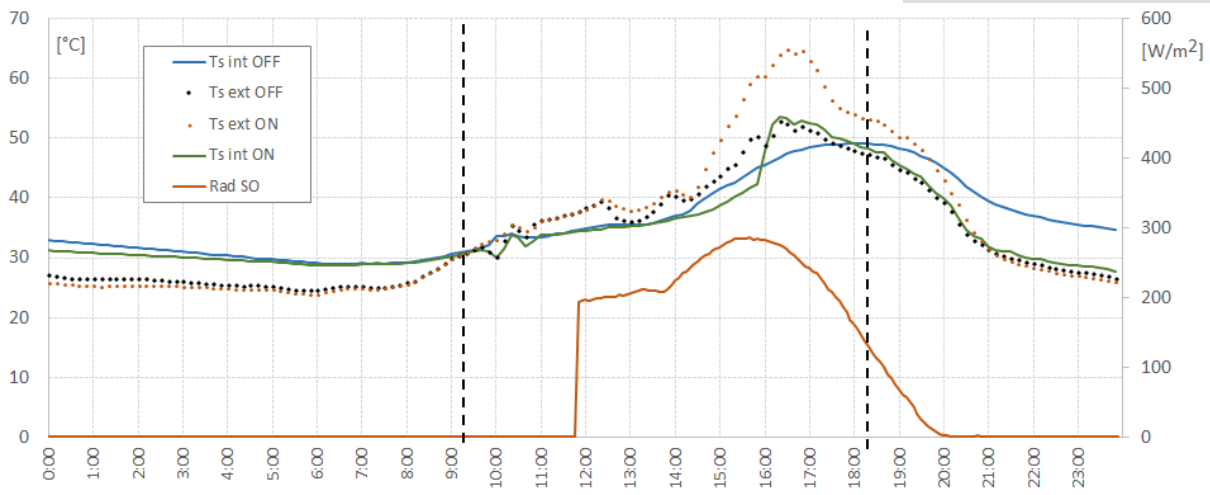


Figure 5. Internal and external surface temperature measured on two EC windows, both on SW wall, one in ON mode the other in OFF mode.

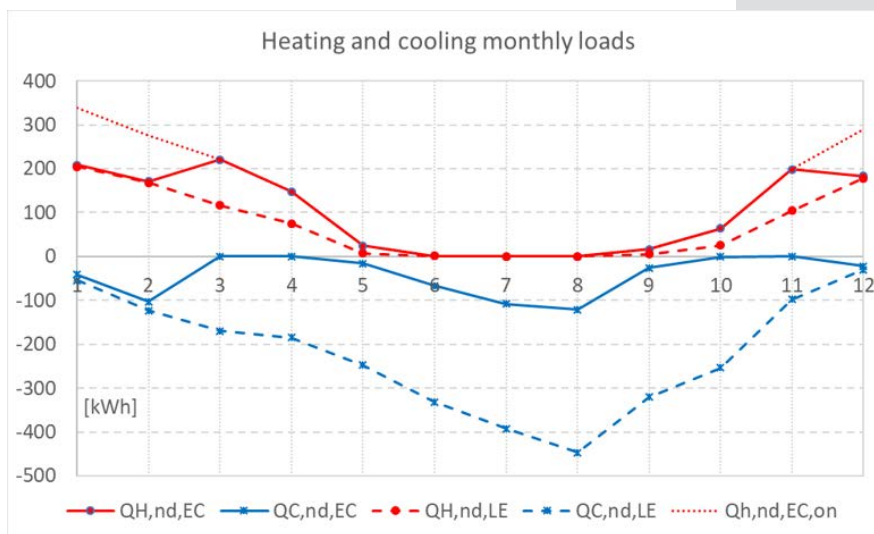


Figure 6. Monthly heating (QH,nd) and cooling (QC,nd) requirements in LE and EC test environments. QH,nd,ON is the heating energy required when EC hourly switch-on programme is always active.

gains in the evening hours. As regard the dynamic simulation the results in figure 6 show that the use of EC glass in winter condition could cause a partial nullification of the advantages achieved during the summer. In winter, not being able to count on solar inputs in the central hours of the day corresponds to an increase of more than 80% of the relative energy need, from 15 kWh/m³ with LE glazing to about 27 kWh/m³ with EC glazing.

On the other hand, in the summer, the benefic effects in a Mediterranean climate are evident with a reduction in energy conditioning needs near to 90%, from about 71 kWh/m³ with LE glazing to about 8 kWh/m³ with EC windows.

5. CONCLUSIONS

With the national decree of 11th of January in 2017 the new Minimum Environmental Criteria for public buildings have been published. They provide, throughout the national territory, for renovation and/or energy requalification projects concerning the building envelope, for compliance with the minimum values of thermal transmittance. In this regard, for redevelopment of public buildings (with degree days from 900 to 1400), involving the replacement of window frames with orientation from East to West, the value of the total solar transmission factor must be not greater than 35%.

The technology to overcome the impasse in the use of shielding on historic buildings is available today, albeit at a still high cost, with the use of windows able to switch between different shielding capabilities, as widely demonstrated in this paper for electrochromic technologies. Significant progress has been made in recent years, above all on the activation times of the active layer. Surely, the window of the future should firstly remain “a window”, ensuring visibility outside and visual comfort inside, but it should be able to convey heat and light separately, through a dynamic switch between the visible and infrared spectra, possibly including shielding elements for privacy. It should remain a durable and reliable element but should become multi-functional: source of natural light (in OFF mode) or artificial (in ON mode) through built-in micro accumulation systems; a decorative element or a projection surface. The next step is therefore its transformation from a simple transparent element of the envelope, into an active element, equipped with sensors for the detection of the main internal comfort parameters, varying the transparency range (or duration) according to the seasons or weather conditions. It will probably be the moment when it will finally stop to be “transparent”.

4. RISULTATI

In figura 4 sono riportati i valori dell'irraggiamento solare incidente sulle pareti e i valori calcolati della temperatura operante all'interno dei due ambienti di prova, a partire dalle misure di temperatura dell'aria effettuate nella seconda settimana del mese di giugno. Come risulta evidente il maggiore carico interno, da apporto solare, si verifica in entrambi gli edifici nella fascia pomeridiana, per effetto del maggiore rapporto della superficie vetrata sulla parete SO, causando valori di picco di temperatura operante all'interno di locali mediamente superiori di 16 °C (per l'ambiente LE) e di 8 °C (per l'ambiente EC) rispetto alla temperatura contemporanea dell'aria esterna. Un discorso analogo vale anche per le temperature superficiali raggiunte dai vetri esposte all'irraggiamento solare.

L'accensione delle vetrate EC comporta un parziale riassorbimento della radiazione solare assorbita nei primi strati esterni (7 mm) e respinta dal “layer attivo”, comportando un innalzamento della temperatura esterna del vetro fino a valori mediamente prossimi ai 52 °C, a fronte di valori superficiali esterni di circa 45°C per le vetrate LE. Ciò è confermato dalla misura delle temperature superficiali effettuate contestualmente su due vetrate EC, l'una accesa come da programma giornaliero, l'altra mantenuta sempre OFF, per tutta la giornata di prova (figura 5). Al raggiungimento delle condizioni di irraggiamento di picco sulle superfici vetrate, le temperature superficiali esterne dei due vetri raggiungono differenze di picco di circa 12 °C. Tale effetto è meno evidente, per contro, sulle temperature superficiali interne dei due vetri.

In merito alla simulazione dinamica oraria, i risultati riportati in figura 6 evidenziano come l'utilizzo di vetrate EC in regime invernale porti ad una vanificazione dei suoi effetti generali di comfort, tendendo ad annullare i principali vantaggi connessi agli apporti termici gratuiti solari. In regime invernale il non poter contare sugli apporti solari nelle ore centrali della giornata corrisponde ad un incremento anche superiore all'80% del relativo fabbisogno, passando da valori di 15 kWh/m³ con vetrate LE a circa 27 kWh/m³ con vetrate EC. Per contro, in regime estivo, gli effetti benefici in un clima mediterraneo si evidenziano con una diminuzione del fabbisogno per il condizionamento estivo prossimi al 90%, passando da valori di circa 71 kWh/m³ con vetrate LE a circa 8 kWh/m³ con vetrate EC.

5. CONCLUSIONI

Con il decreto 11 gennaio 2017 pubblicato in G.U. 23 del 28/01/2017 sono state rese note le nuove indicazioni in merito ai Criteri Ambientali Minimi per gli edifici pubblici che prevedono, su tutto il territorio nazionale, per progetti di ristrutturazione importante di secondo livello e di riqualificazione energetica riguardanti l'involucro edilizio il rispetto dei valori minimi di trasmittanza termica contenuti nel decreto “Requisiti Minimi” relativamente all'anno 2021. A

6. REFERENCES

- [1] Murano G., Nidasio R., Panvini A., Terrinoni L., *Le criticità nella progettazione e realizzazione di interventi di riqualificazione a nZEB: implicazioni pratiche, normative e legislative*. Evoluzione dei requisiti energetici ottimali degli edifici NZEB, Report RdS/2016/127 (2016)
- [2] Kamalisarvestani M., Saidur R., Mekhilef S., Javadi F.S., *Performance, materials and coating technologies of thermochromic thin films on smart windows*. Renewable and Sustainable Energy Reviews 26 (2013), 353–364.
- [3] Hassouneh K., Alshboul A., Al-Salaymeh A., *Influence of windows on the energy balance of apartment buildings in Amman*, Energy Conversion and Management 51 (2010), 1583–1591.
- [4] IEA, *Technology Roadmap: Energy Efficient Building Envelopes*, OECD/IEA, Paris, 2013.
- [5] Casini M., *Active dynamic windows for buildings: A review*, Renewable Energy 119 (2018), 923-934.
- [6] Liu Y., Sun L., Sikha G., Isidorsson J., Lim S., Anders A., Leo Kwak B., Gordon II J. G., *2-D mathematical modeling for a large electrochromic window - Part I*, Solar Energy Materials and Solar Cells 120, part A (2014).
- [7] Al-Masrani S.M., Al-Obaidi K.M., Zalin N. A., Aida Isma M.I., *Design optimisation of solar shading systems for tropical office buildings: Challenges and future trends*, Solar Energy 170 (2018), 849-872.
- [8] Vailati C., Bachtiar E., Hass P., Burgert I., Rüggeberg M., *An autonomous shading system based on coupled wood bilayer elements*, Energy and Buildings 158 (2018), 1013-1022.
- [9] Baetens R., Jelle B.P., Gustavsen A., *Properties, requirements and possibilities of smart windows for dynamic daylight and solar energy control in buildings: a state-of-the-art review*, Solar Energy Material and Solar Cell 94 (2010), 87-105.
- [10] G. Loddo, *Electrochromic glass: testing in the Mediterranean area*. TeMA: Technology, Engineering, and Architecture 2, n.2 (2016).
- [11] Tavares P., Bernardo H., Gaspar A., Martins A., *Control criteria of electrochromic glasses for energy savings in mediterranean buildings refurbishment*. Solar Energy 134 (2016), 236-250.
- [12] Chan C.C., Hsu W.C., Chang C.C., Hsu C.S., *Hydrogen incorporation in gasochromic coloration of sol-gel WO₃ thin films*, Sensors and Actuators: B Chemical 157 (2011), 504-509.
- [13] Dussault J.M., Gosselin L., Galstian T., *Integration of smart windows into building design for reduction of yearly over all energy consumption and peak loads*, Solar Energy 86 issue 11 (2012), 3405–3416.
- [14] Gugliermetti F., Bisegna F., *Saving energy in residential buildings: The use of fully reversible windows*, Energy 32, issue 7 (2007), 1235-1247.
- [15] Piccolo A., Simone F., *Effect of switchable glazing on discomfort glare from windows*, Building and Environment 44 (2009), 1171–1180.
- [16] Sbar N.L., Podbelski L., Yang H.M., Pease B., *Electrochromic dynamic windows for office buildings*. International Journal of Sustainable Built Environment 1 (2012), 125–139, <https://doi.org/10.1016/j.ijbsbe.2012.09.001>.
- [17] UNI EN ISO 6946 (2018), *Componenti ed elementi per edilizia - Resistenza termica e trasmittanza termica - Metodi di calcolo*
- [18] UNI EN ISO 7726 (2002), *Ergonomia degli ambienti termici - Strumenti per la misurazione delle grandezze fisiche*
- [19] UNI EN ISO 52016-1 (2018), *Prestazione energetica degli edifici - Fabbisogni energetici per riscaldamento e raffrescamento, temperature interne e carichi termici sensibili e latenti - Parte 1: Procedure di calcolo*.

riguardo, per lavori di riqualificazione su edifici pubblici in fascia climatica C, a partire dal 13 febbraio 2017, che prevedano la sostituzione di infissi, il valore del fattore di trasmissione solare totale g_{gl+sh} per componenti finestrate con orientamento da Est a Ovest, in presenza di una schermatura mobile deve essere non superiore al 35%. La tecnologia per superare l'impasse nell'utilizzo di schermature su edifici storici è oggi disponibile, pur se a fronte di costi ancora elevati, con l'utilizzo di vetrate in grado di switchare tra differenti condizioni operative di trasmissione termica e luminosa, come ampiamente dimostrato in questo articolo per tecnologie elettrocromiche. Notevoli passi avanti sono stati fatti negli ultimi anni anche e soprattutto sui tempi di attivazione del layer attivo. È un dato certo che la finestra del futuro dovrebbe in primo luogo restar una finestra garantendo visibilità verso l'esterno e comfort visivo all'interno, ma dovrebbe essere in grado di convogliare separatamente energia termica e luminosa attraverso uno switch dinamico tra lo spettro del visibile e dell'infrarosso, includendo eventualmente elementi schermanti per la privacy. Dovrebbe restare un elemento durevole ed affidabile, ma diventare multifunzionale: sorgente di luce naturale (OFF) o artificiale (ON) mediante sistemi di microaccumulo incorporati; un elemento decorativo o una superficie di proiezione. Il prossimo passo è dunque la sua trasformazione da semplice elemento di trasmissione visiva dell'involucro, in un elemento attivo, munito di sensori per il rilevamento dei principali parametri di comfort interno e di elementi ricettori in grado di attivarne le principali funzioni richieste, variandone il campo o la durata in funzione delle stagioni o delle condizioni climatiche del momento. Sarà probabilmente quello il momento in cui cesserà finalmente di essere "trasparente".